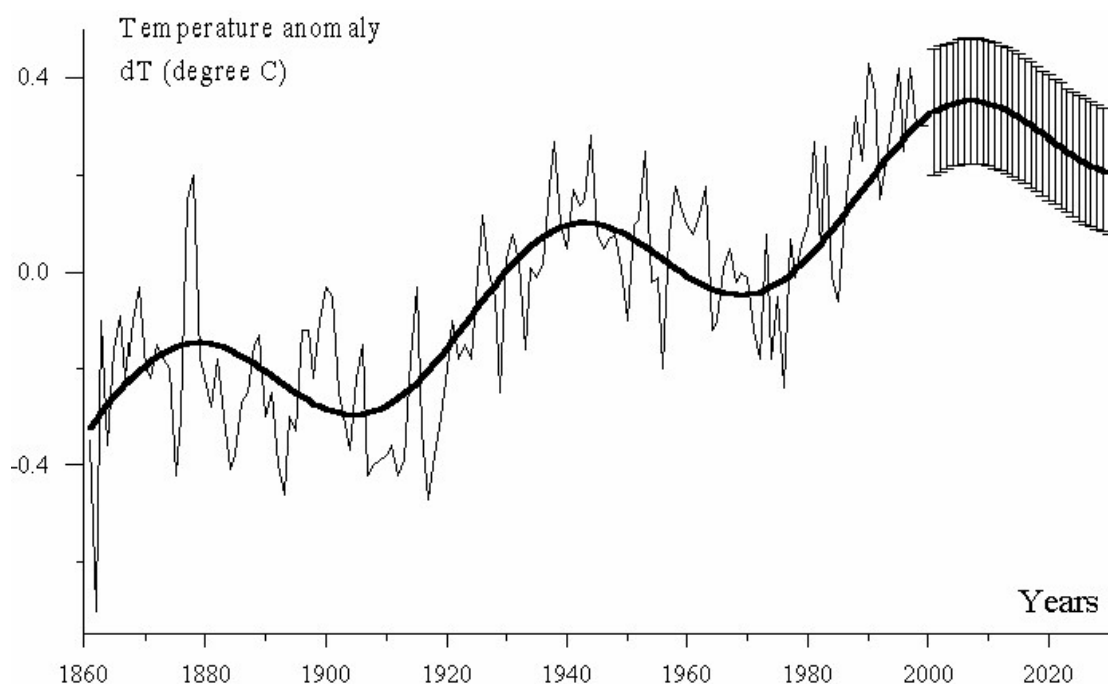


# AMO INDEX



Voir la publication

La dynamique de la tendance mondiale de la dT mesurée et modélisée, 1861-2030s dT globale à ligne mince et annuelle; Tendence gras modélisée linéaire cyclique avec une période de 64,13 ans; ligne en gras avec tendance prédite modélisée par barres d'erreur pour les années 2000-2030

La dynamique de la tendance mondiale de la dT mesurée et modélisée, 1861-2030s dT globale à ligne mince et annuelle; Tendence gras modélisée linéaire cyclique avec une période de 64,13 ans; ligne en gras avec tendance prédite modélisée par barres d'erreur pour les années 2000-2030

Publication source

. Dynamique comparée de la consommation mondiale de carburant (WFC) et de l'anomalie de température globale (dT), 1861–2000. Ligne mince - dT annuel; Ligne Bold - lissage sur 13 ans; Ligne pointillée - WFC (Mill. Tonnes de ...

. Dynamique comparative de l'anomalie de température globale mesurée par l'instrument et de la température reconstruite (par l'O 18 dans les carottes de glace du Groenland)

. Reconstituit par O 18 dans la température des carottes de glace (a) et son spectre de puissance (b)

La dynamique de la tendance mondiale de la dT mesurée et modélisée, 1861-2030s dT

globale à ligne mince et annuelle; Tendance gras modélisée linéaire cyclique avec une période de 64,13 ans; ligne en gras avec erreur ...

(a) Estimation du spectre de cohérence au carré entre les augmentations annuelles de WFC et les augmentations annuelles de Global dT (b) Estimation de la fonction de transfert de fréquence en amplitude à partir des augmentations ...

Sur la cohérence entre la dynamique de la consommation mondiale de carburant et l'anomalie de température globale

Décembre 2003

LB KlyashtorinAlexey Lyubushin

Contexte 1

La figure 5 présente les résultats de l'utilisation de la méthode susmentionnée de prévision de la tendance dT pour  $\tau = 64,13$  ans . La ligne en gras avec les barres verticales des écarts-types est la prévision d'un comportement à basse fréquence du dT global pour les 30 prochaines années. Elle est représentée à la figure 5 par un mince trait noir. ...

Contexte 2

La figure 5 présente les résultats de l'utilisation de la méthode susmentionnée de prévision de la tendance dT pour  $\tau = 64,13$  ans . La ligne en gras avec les barres verticales des écarts-types est la prévision d'un comportement à basse fréquence du dT global pour les 30 prochaines années. Elle est représentée à la figure 5 par un mince trait noir. La ligne en gras présente les valeurs d'une tendance cyclique pour l'intervalle des observations instrumentales. ...

Publications similaires

Sur la cohérence entre la dynamique de la consommation mondiale de carburant et l'anomalie de température globale

Décembre 2003

LB KlyashtorinA. Lyubushin

Citations

... Par le chargement et le déchargement, ils peuvent modifier les conditions de stress et influencer sur l'activité interne de la géosphère [McGuire, 2010, 2013 et les références qui y figurent]. L'intérêt de tels procédés se pose car ils se caractérisent par une périodicité de 60 ans [Klyashtorin et al., 2009;Scafetta, 2014a] similaire à celle de la sismicité et du volcanisme italiens. L'oscillation est observable pour des indices climatiques tels que la température de surface globale [Klyashtorin et Lyubushin, 2003; Scafetta, 2010; Courtillot et al., 2013], le niveau de la mer mondial [Jevrejeva et al., 2008; Church et White, 2011;

Chambers et al., 2012], l'Oscillation Nord-Atlantique [Mazzarella et Scafetta, 2012], l'Oscillation Décennale du Pacifique [d'Orgeville et Peltier, 2007] et les précipitations de mousson dans différentes régions d'Asie [Agnihotri et Dutta, 2003] . ...

... L'intérêt pour de tels processus s'explique par le fait qu'ils se caractérisent par une périodicité de 60 ans [Klyashtorin et al., 2009; Scafetta, 2014a] similaire à celle de la sismicité et du volcanisme italiens. L'oscillation est observable pour des indices climatiques comme la température de surface globale [Klyashtorin et Lyubushin, 2003; Scafetta, 2010; Courtillot et al., 2013], le niveau de la mer mondial [Jevrejeva et al., 2008; Church et White, 2011; Chambers et al., 2012], l'Oscillation Nord-Atlantique [Mazzarella et Scafetta, 2012], l'Oscillation Décennale du Pacifique [d'Orgeville et Peltier, 2007] et les précipitations de mousson dans différentes régions d'Asie [Agnihotri et Dutta, 2003] . Les travaux récents vont au-delà de la caractérisation statistique et tentent une explication physique du phénomène. ...

... L'oscillation est observable pour des indices climatiques comme la température de surface globale [Klyashtorin et al., 2003; Scafetta, 2010; Courtillot et al., 2013], le niveau global de la mer [Jevrejeva et al., 2008; Church et White, 2011; Chambers et al., 2012], l'Oscillation de l'Atlantique Nord [Mazzarella et Scafetta, 2012], l'Oscillation décennale du Pacifique [d'Orgeville et Peltier, 2007] et précipitations de mousson dans différentes régions d'Asie [Agnihotri et Dutta, 2003]. ...

La sismicité italienne et les éruptions du Vésuve se synchronisent sur une oscillation de presque 60 ans

Mai 2015

Pier Luigi Bragato

Afficher le résumé

... Il existe un certain nombre de périodicités décennales dans les séries chronologiques climatiques associées à la périodicité de l'activité solaire ou des phénomènes El Nino (Ghil et Vautard, 1991; Mock et Hibler, 1976; Mitchell, Jr., Stockton et Meko, 1979) . Dans cet article, nous poursuivons l'étude des périodicités climatiques de 60 à 70 ans que nous avons précédemment publiée (Klyashtorin et Lyubushin, 2003, 2007) sur la base d'une analyse de l'anomalie de température globale instrumentale pour la période 1861-1999 et des séries chronologiques de reconstruction des températures moyennes hivernales au Groenland pour l'intervalle de temps 553-1973AD (Dansgaard, W. et al., 1975). L'existence de composantes périodiques basse fréquence offre la possibilité d'améliorer la prévision des séries chronologiques. ...

... en (Klyashtorin et Lyubushin, 2003, 2007) la période dominante de 64 ans a été déterminée à partir des données instrumentales globales de dT, et une prévision de tendance cyclique a été réalisée pour l'intervalle de temps 2000-2030AD. Selon cette prévision, le "réchauffement climatique" cesserait en 2008 et un "refroidissement global"

commencerait et se poursuivrait jusqu'en 2030. ...

PREVISION GLOBALE DT A COURT TERME UTILISANT UNE PERIODICITE (60-70) ANNEES

Jan 2012

Alexey A Lyubushin Leonid B Klyashtorin

Afficher le résumé

... Les périodes de début et de fin montrent des tendances de refroidissement modestes, tandis que la partie centrale montre une forte tendance au réchauffement. Cela pourrait être une indication de la combinaison d'une tendance linéaire ou d'une autre tendance au réchauffement avec un ou plusieurs cycles climatiques périodiques, comme suggéré par Chylek et al. (2009), Loehle (2004), Klyashtorin et Lyubushin (2003), Schlesinger et Ramankutty (1994), Bientôt (2005) ...

... et Zhen-Shan et Xian (2007), entre autres. Zhen-Shan et Xian (2007) et Klyashtorin et Lyubushin (2003) ont noté que le résultat de cette combinaison de forçages pourrait être d'exagérer le réchauffement apparent (et donc l'effet de forçage apparent causé par l'effet de serre) du dernier tiers du XX e siècle. L'identification empirique de signaux climatiques périodiques ou semi-périodiques a un précédent dans l'identification des cycles de taches solaires et mérite donc d'être prise en compte pour des périodes plus longues, ce qui est considéré ensuite dans le contexte de la prévision des climats futurs. ...

... Cette prévision semble particulièrement judicieuse puisque la NASA a identifié un changement dans la phase de refroidissement du PDO au cours des deux dernières années. Klyashtorin et Lyubushin (2003) ont démontré qu'un signal de température d'une période de 50 à 60 ans est dominant à partir de 1650 environ (fin du petit âge glaciaire) dans les enregistrements de carottes de glace du Groenland, dans plusieurs enregistrements de cernes très longs et dans des enregistrements de sardines et d'anchois dans des carottes de sédiments marins (Klyashtorin et al. 2009), un résultat également rapporté par Biondi et al. (2001). Ils ont ensuite modélisé les données de température globale de 1861 à 2000 avec une tendance linéaire plus un cycle de 64,13 ans (estimé à partir des enregistrements de température globale). ...